

# **Синтез и электрохимические свойства твёрдого раствора $\text{LiMn}_{1/3}\text{Cr}_{1/3}\text{Fe}_{1/3}\text{O}_2$ со структурой $\alpha\text{-NaFeO}_2$**

**А.А. Клёнушкин, Б.С. Медведев, Ю.В. Кабиров, Е.В. Чебанова**

## **1. Введение**

Наибольшее распространение среди химических источников тока в мобильных устройствах получили литий-ионные аккумуляторы [1]. Совершенствование их требует увеличения емкости, мощности и безопасности [2, 3]. Одной из проблем на этом пути является улучшение характеристик используемых катодных материалов. Известный катодный материал  $\text{LiCoO}_2$  токсичный и дорогой. Появившиеся позже оливины  $\text{LiFePO}_4$ ,  $\text{LiNiPO}_4$  и шпинель  $\text{LiMn}_2\text{O}_4$  имеют как преимущества, так и индивидуальные недостатки [1-5].

Кобальтит лития относится к соединениям структурного типа delaфоссита [6] с общей формулой  $AB\text{O}_2$  ( $A = \text{Li}, \text{Na}$ ;  $B = \text{V}, \text{Cr}, \text{Co}, \text{Fe}$  и  $\text{Ni}$ ), со слоистой структурой, в которой ионы  $\text{Li}^+$  и  $\text{B}^{3+}$  занимают чередующиеся плоскости (111) структуры каменной соли. При этом образуется последовательность  $-\text{O}-\text{Li}-\text{O}-\text{B}-\text{O}-$  вдоль оси  $c$ . Структурные особенности кобальтита лития при деинтеркаляции лития позволяют использовать его лишь на 50% емкости. Это стимулирует поиск твердых растворов с использованием переходных металлов [1] в позициях « $B$ ». Однако в таких твердых растворах обязательно присутствует кобальт [1, 7].

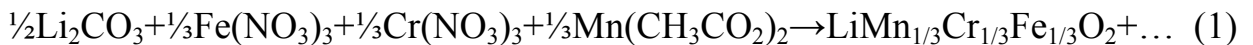
Целью данной работы является синтез и исследование электрохимических характеристик твёрдого раствора  $\text{LiMn}_{1/3}\text{Cr}_{1/3}\text{Fe}_{1/3}\text{O}_2$ , изоструктурного  $\text{LiCoO}_2$ .

Так же следует отметить, что октаэдрические радиусы  $\text{Co}^{3+}$ ,  $\text{Fe}^{3+}$ ,  $\text{Cr}^{3+}$  и  $\text{Mn}^{3+}$  в слабом поле лигандов отличаются не более чем на 5%, что обеспечивает их взаимное замещение без искажения структуры.

## **2. Методика эксперимента**

### **2.1. Приготовление образцов**

Для синтеза твёрдого раствора  $\text{LiMn}_{1/3}\text{Cr}_{1/3}\text{Fe}_{1/3}\text{O}_2$  был использован метод водорастворимых соединений, согласно схеме 1 (после окончательной термообработки):



Нитраты железа, хрома и ацетат марганца растворяли в небольшом количестве воды, после чего в полученный раствор при постоянном помешивании на магнитной мешалке добавляли карбонат лития до его полного растворения. Полученный раствор выпаривали при  $120 - 130^\circ\text{C}$  до полного высыхания. Сухой остаток механически гомогенизировали и исследовали методом рентгеноструктурного анализа (РСА). По результатам рентгенофазового анализа обнаружен нитрат лития на фоне аморфной фазы.

Для установления температуры образования целевой фазы был проведён комплексный дифференциальный термический анализ (ДТА и ДТГ) высушенного порошка на приборе NETZSCHSTA 449 С. Результат показал, что целевой продукт начинает образовываться при температуре  $800 - 850^\circ\text{C}$ . На кривой ДТГ постоянство массы наблюдается после  $500^\circ\text{C}$ .

Синтез твёрдого раствора  $\text{LiMn}_{1/3}\text{Cr}_{1/3}\text{Fe}_{1/3}\text{O}_2$  проводили в виде спрессованных таблеток диаметром 10 мм и толщиной 5 мм в муфельной печи в течение 3 часов при температуре  $900 - 950^\circ\text{C}$ .

### **2.2. Рентгенографическое исследование**

Рентгеноструктурный и рентгенофазовый анализ полученных образцов проведен с помощью дифрактометра ARL-X'TRA методом Брегга-Брентано ( $\theta - 2\theta$ ) с шагом сканирования  $0,02^\circ$ . Время экспозиции на каждом шаге 1с. Использовано излучение  $\text{CuK}_\alpha$  – анода с длиной волны 1,5406 Å. Точность измерения параметров составила 0,003 Å. Обработка данных выполнена с использованием полнопрофильного анализа методом Ритвелда.

## **2.3. Электронная микроскопия**

Изучение микроструктуры материалов осуществлялось на растровом электронном микроскопе Zeiss Supra 25.

## **2.4. Электрохимические испытания**

Для проведения электрохимических исследований предварительно полученный твёрдый раствор смешивался с токопроводящим агентом в виде сажи и связкой (фторопласт Ф-2М в растворе 1-метил-2-пирролидон) в процентном весовом соотношении 88:10:2.

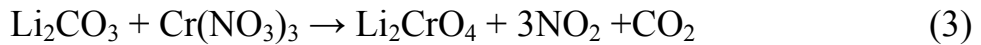
Полученная паста была нанесена тонким слоем на предварительно подготовленную алюминиевую подложку и высушена при 100°C в течение 1 часа. Электрохимическое исследование проводилось в гальваностатическом режиме при стабилизированном токе заряда-разряда в трёхэлектродной ячейке с использованием мультифункционального реле времени NOVATEK-ELECTRO R-201М и мультиметра APPA 207. Электролитом служил 1,2М раствор LiPF<sub>6</sub> в смеси этиленкарбоната и диметилкарбоната (1:1). Рабочим электродом сравнения был металлический литий. Сборка ячейки осуществлялась в перчаточном боксе в атмосфере сухого углекислого газа с точкой росы около – 50°C.

## **3. Результаты и их обсуждение**

### **3.1. Рентгенографическое исследование**

Исследование методами рентгенфлюоресцентного анализа (РФА) показало, что полученный продукт представляет твёрдый раствор, изоструктурный LiCoO<sub>2</sub>, с примесями в виде LiMn<sub>2</sub>O<sub>4</sub> (не более 10%) и Li<sub>2</sub>CrO<sub>4</sub> (не более 5%). Наличие указанных примесей можно объяснить тем, что при синтезе протекают три параллельные реакции. Реакция синтеза целевой фазы (1), реакция образования LiMn<sub>2</sub>O<sub>4</sub>, связанная с избыточным окислением Mn(II) до Mn(IV) вместо Mn(III) (2), и реакция окисления Cr(III) до Cr(VI) в присутствии ионов щелочного металла (3).





Реакции (2) и (3) являются вторичными и нежелательными. Однако, поскольку был использован метод активных прекурсоров, в котором достигается достаточно хорошая гомогенизация компонентов наnanoуровне, то, вероятно, взаимодействие при термообработке происходит преимущественно по схеме реакции (1).

РСА целевого продукта был проведён с использованием программного пакета FullProf 2013. Для уточнения структуры были использовано 16 параметров и гауссовская форма пика, а именно 6 параметров, относящихся к структуре, и 10 профильных параметров. Значения параметров после уточнения приведены в табл. № 1 в сравнении с кобальтитом лития [8], значения профильного R-фактора составило 14 %.

Таблица № 1  
Сравнение параметров кобальтита лития и синтезированного  
 $\text{LiMn}_{1/3}\text{Cr}_{1/3}\text{Fe}_{1/3}\text{O}_2$ , изоструктурного  $\text{LiCoO}_2$

	$\text{LiMn}_{1/3}\text{Cr}_{1/3}\text{Fe}_{1/3}\text{O}_2$	$\text{LiCoO}_2$
Пространственная группа	$R-3m$ , № 166	$R-3m$ , № 166
$a=b$ , Å	2,892	2,817
$c$ , Å	14,313	14,052
$V$ , Å <sup>3</sup>	103,668	96,57
$c/a$	4,949	4,988
Число формульных единиц	3	3
$z(\text{O}^{2-})$	0,2138	0,2538

Как видно из данных табл. № 1, полная замена ионов кобальта в позициях «B» приводит к увеличению объема ячейки на 6,8%, что можно объяснить наличием структурных дефектов. Этот факт требует дальнейшего изучения. Следует также отметить, что ионы железа, хрома и марганца распределены в позиции «B» неупорядоченно, так как сверхструктурные дифракционные отражения на дифрактограмме не обнаруживаются (рис. 1), а их факторы заселённости соответствуют индексам данного катиона в соответствующей молекулярной формуле.

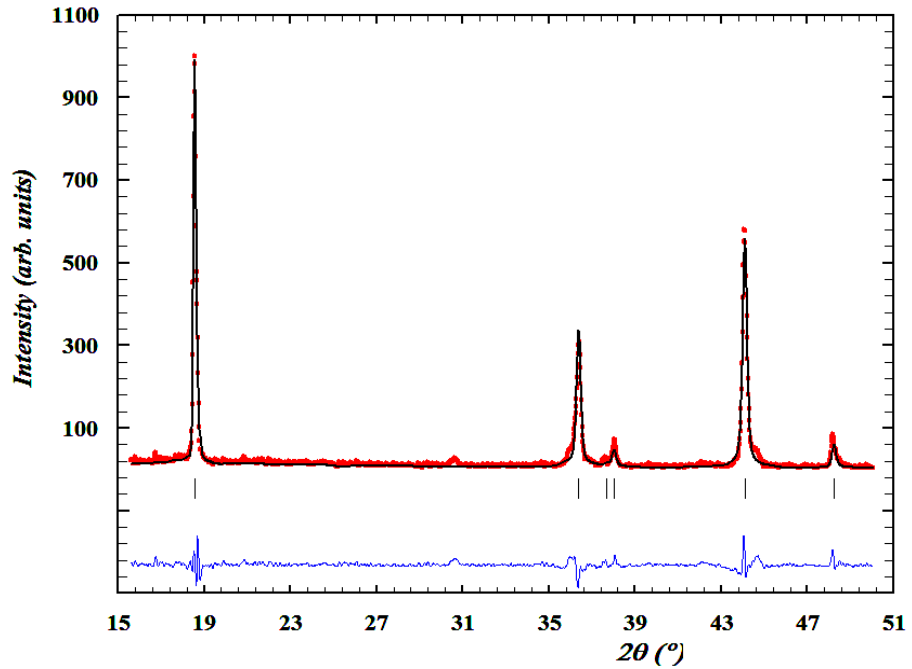


Рис. 1. – Фрагмент рентгенограммы  $\text{LiMn}_{1/3}\text{Cr}_{1/3}\text{Fe}_{1/3}\text{O}_2$  с разностным профилем

На рис. 2 показана слоистая структура полученного твёрдого раствора  $\text{LiMn}_{1/3}\text{Cr}_{1/3}\text{Fe}_{1/3}\text{O}_2$  со структурой  $\alpha\text{-NaFeO}_2$ . Из анализа структуры твёрдого раствора  $\text{LiMn}_{1/3}\text{Cr}_{1/3}\text{Fe}_{1/3}\text{O}_2$  можно считать, что она относится к  $\text{O}_3$ -слоистым структурам с двумерными плоскостями для миграции ионов лития, что должно обеспечивать хорошие электрохимические свойства [8].

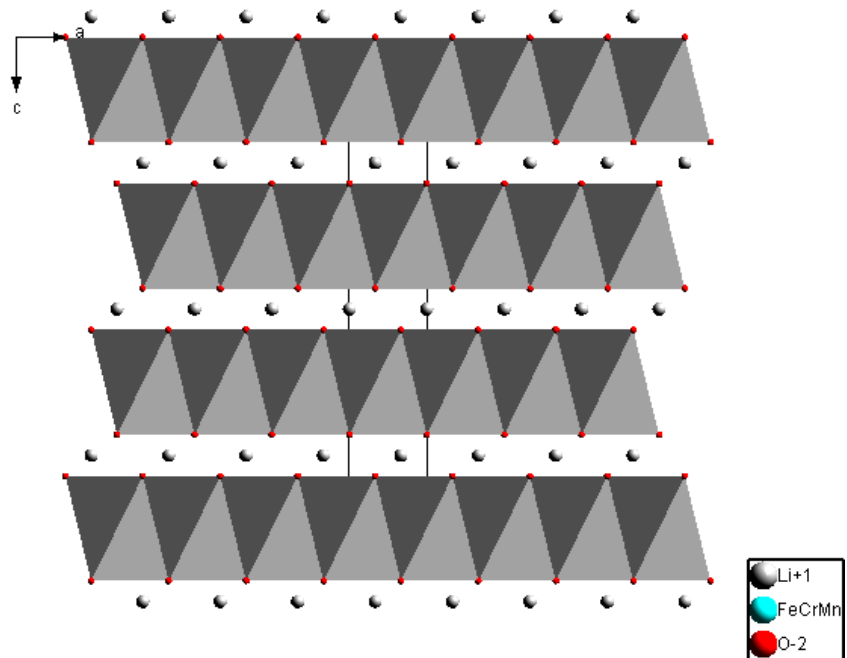


Рис. 2. – Структура  $\text{LiMn}_{1/3}\text{Cr}_{1/3}\text{Fe}_{1/3}\text{O}_2$  (полиэдрами показан остав  $\text{BO}_2$ )

### 3.2. Электронная микроскопия

Исследования с помощью растровой электронной микроскопии (РЭМ) поверхности образца  $\text{LiMn}_{1/3}\text{Cr}_{1/3}\text{Fe}_{1/3}\text{O}_2$  в виде спечённой керамики показали наличие пластиначатой текстуры (рис. 3). Характерный размер наблюдаемых частиц приблизительно 0,5 мкм.

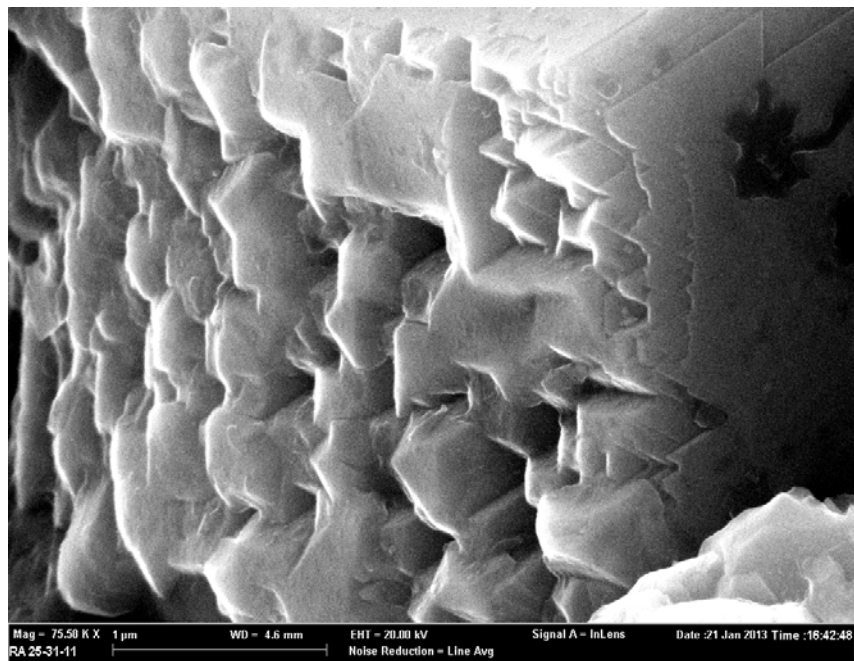
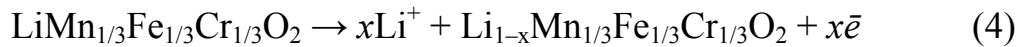


Рис. 3. – Электронная микрофотография поверхности керамики образца  $\text{LiMn}_{1/3}\text{Cr}_{1/3}\text{Fe}_{1/3}\text{O}_2$

### 3.3. Электрохимические испытания

Электрохимические исследования катодного материала  $\text{LiMn}_{1/3}\text{Cr}_{1/3}\text{Fe}_{1/3}\text{O}_2$  показывают его возможность к циклированию в диапазоне напряжений 2,8 – 4,5 В в гальваностатическом режиме при токах  $C/15$  –  $C/30$  до разрядно-зарядной ёмкости 220 – 230 мАч/г, что составляет 75–80% от теоретической ёмкости (285 мАч/г) и при токах  $C/50$  до глубины разряда-заряда 250 мАч/г. Заряд на большую глубину ограничен устойчивостью электролита при напряжении более 4,5 В. В разряженном состоянии ЭДС системы  $\text{LiMn}_{1/3}\text{Cr}_{1/3}\text{Fe}_{1/3}\text{O}_2$  – литий составляет 3,7 В, а при степени заряда 75 – 80 % после релаксации ячейки в течение 24 часов (для уменьшения влияния поляризации) – 4,2 В. Процесс заряда катода, связанный с

изменением степеней окисления переходных элементов при деинтеркаляции ионов лития, можно описать уравнением (4), разряд идёт в противоположном направлении:



Из анализа изменения напряжения во время циклирования можно заметить отсутствие плато при заряде-разряде (рис. 4.), что в свою очередь указывает на то, что процесс внедрения и извлечения лития проходит однофазно и без изменения структурных фаз [9] с образованием  $\text{Li}_{1-x}\text{Mn}_{1/3}\text{Cr}_{1/3}\text{Fe}_{1/3}\text{O}_2$ .

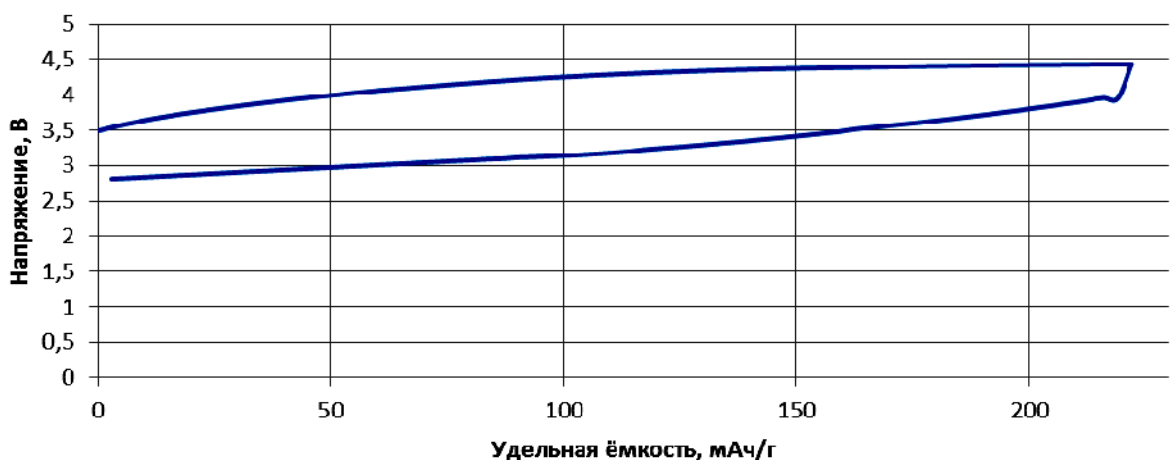


Рис. 4. – Цикл заряда-разряда  $\text{LiMn}_{1/3}\text{Cr}_{1/3}\text{Fe}_{1/3}\text{O}_2$

Данный факт положительно сказывается на электрохимических характеристиках, в отличие от  $\text{LiFePO}_4$ , в котором при циклировании происходит двухфазный процесс, и образование новой фазы на поверхности частицы затрудняет диффузию ионов лития.

Сравнение электрохимических свойств  $\text{LiMn}_{1/3}\text{Cr}_{1/3}\text{Fe}_{1/3}\text{O}_2$  с другими катодными материалами приведено в табл. № 2. Как видно из сравнения (табл. 2), описанный в статье катодный материал  $\text{LiMn}_{1/3}\text{Cr}_{1/3}\text{Fe}_{1/3}\text{O}_2$  на данный момент уступает по предельно допустимым токам заряда-разряда современным катодным материалам, однако имеет одну из наибольших удельных ёмкостей и может применяться для длительного питания различных электронных и электротехнических устройств.

Таблица № 2

Сравнительная характеристика электрохимических свойств  $\text{LiMn}_{1/3}\text{Cr}_{1/3}\text{Fe}_{1/3}\text{O}_2$  с некоторыми материалами

Формула	Удельная ёмкость	ЭДС	Максимальный постоянный ток
$\text{LiMn}_{1/3}\text{Fe}_{1/3}\text{Cr}_{1/3}\text{O}_2$	230	4,0	До 0,1C
$\text{LiCoO}_2$	140	3,7	До 2C
$\text{LiFePO}_4$	150	3,3	До 4C
$\text{LiMn}_{1/3}\text{Ni}_{1/3}\text{Co}_{1/3}\text{O}_2$	220	4,2	До 2C
$\text{LiMn}_2\text{O}_4$	100	4,0	До 20C

### Выводы

Синтезирован новый твердый раствор  $\text{LiMn}_{1/3}\text{Cr}_{1/3}\text{Fe}_{1/3}\text{O}_2$  со структурой слоистого  $\alpha\text{-NaFeO}_2$ . Показана перспективность его использования в качестве катодного материала для литий-ионных аккумуляторов. Удельная ёмкость  $\text{LiMn}_{1/3}\text{Cr}_{1/3}\text{Fe}_{1/3}\text{O}_2$  при токах от 0,1C до 0,02C составляет 220 – 250 мАч/г.

### Литература:

1. Whittingham M.S. Lithium Batteries and Cathode Materials [Text] // Chem. Rev. 2004, – V. 104. – № 10. – P. 4271 – 4301.
2. Фиговский, О. Новейшие нанотехнологии. [Электронный ресурс] // «Инженерный вестник Дона», 2012, № 1. – Режим доступа: <http://ivdon.ru/magazine/archive/n1y2012/725> (доступ свободный) – Загл. с экрана. – Яз. рус.
3. Положенцев, О.Е., Шаповалов, В.В., Гуда, А.А., Подковырина, Ю.С., Чайников, А.П., Бугаев, А.Л., Сухарина, Г.Б., Поль, А., Солдатов, А.В. Динамика наноразмерной атомной структуры новыхnanostructured materials для возобновляемых источников тока на основе нанокомпозита  $\text{V}_2\text{O}_5/\text{Fe}/\text{LiF}$  в цикле зарядка-разряда. [Электронный ресурс] // «Инженерный вестник Дона», № 4 (часть 2). – Режим доступа:

<http://www.ivdon.ru/magazine/archive/n4p2y2012/1465> (доступ свободный) -  
Загл. С экрана. – Яз. Рус.

4. Padhi A.K., Nanjundaswamy K.S., Goudenough J.B. Phospho-olivines as Positive-Electrode Materials for Rechargeable Lithium Batteries [Text] // Journal of Electrochemical Society, 1997. – V. 144 – P. 1188 – 1194.
5. Okada S., Sawa S. , Egashira M., Yamaki J., Tabuchi M., Kageyama H., Konishi T., Yoshinof A. Cathode properties of phospho-olivine LiMPO<sub>4</sub> for lithium secondary batteries [Текст] // Journal of Power Sources, 2001. – V. 97 – 98. – P. 430 – 432.
6. Koksbang R., Barker J., Shi H., Saidi M.Y. Cathode materials for lithium rocking chair batteries [Text] // Solid State Ionics, 1996. –V. 84. –№ 1.– P. 1 – 21.
7. Barboux P., Shokoohi F.K., Tarascon J.-M. Method for preparation of LiMn<sub>2</sub>O<sub>4</sub> intercalation compounds and use thereof in secondary lithium batteries [Text] // Bell Communications Research, Inc. 1992 US Patent US 5135732 A.
8. Безносиков, Б.В., Александров, К.С. Кристаллы семейства delaфоссита. [Text]: Препринт № 843 Ф / Б.В. Безносиков. – Красноярск: институт физики им. Л.В. Киренского СО РАН, 2007. – 32 с.
9. Ellis B.L., Town K., Nazar L.F. New composite materials for lithium-ion batteries [Text] // Electrochimica Acta, 2012. – V. 84. – P. 145 – 154.
10. Nazri, G.-A., Pistoia, G. Lithium batteries. Science and technology [Text] / G.-A. Nazri. – New York: Springer, 2009. – 709 p.
11. Фундаментальные проблемы преобразования энергии в литиевых электрохимических системах [Текст] // Материалы XII Международной конференции «Фундаментальные проблемы преобразования энергии в литиевых электрохимических системах» / под ред. В.В. Галкина. – Краснодар: Кубанский гос. ун-т, 2012. – 326 с.
12. Фундаментальные проблемы электрохимической энергетики: Сборник материалов XII Международной конференции «Электрохимическая энергетика» / под ред. И.А. Казаринова. – Саратов: Изд-во Сарат. ун-та, 2011. – 554 с.: ил.